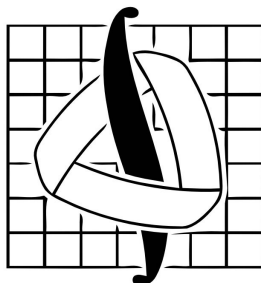


МОСКОВСКИЙ ГОСУДАРСТВЕННЫЙ
УНИВЕРСИТЕТ

имени М.В.Ломоносова
механико-математический факультет



**Расчёт конвективного движения жидкости
в полости прямоугольного сечения при
подогреве, моделирование возникновения
конвективных валов и ячеек Бенара**

Студент:
Мирмоминов Руслан Мэргыязович

Преподаватель:
Корнев Андрей Алексеевич

Москва, 2020 г.

1 Постановка задачи

Требуется рассчитать конвективное движение жидкости в полости квадратного сечения при подогреве. Для этого следует совместно решить систему ДУЧП из уравнений Навье - Стокса в переменных «функция тока – вихрь скорости» и уравнения теплопроводности:

$$\begin{aligned}\omega &= \omega(x, y, t), \quad \psi = \psi(x, y, t), \quad T = T(x, y, t), \\ \frac{\partial \omega}{\partial \tau} &= \nu \left(\frac{\partial^2 \omega}{\partial x^2} + \frac{\partial^2 \omega}{\partial y^2} \right) - \frac{\partial \omega}{\partial x} \cdot \frac{\partial \psi}{\partial y} + \frac{\partial \omega}{\partial y} \cdot \frac{\partial \psi}{\partial x} + G \frac{\partial T}{\partial x}, \\ \frac{\partial T}{\partial \tau} &= k \left(\frac{\partial^2 T}{\partial x^2} + \frac{\partial^2 T}{\partial y^2} \right) - \frac{\partial \psi}{\partial y} \cdot \frac{\partial T}{\partial x} + \frac{\partial \psi}{\partial x} \cdot \frac{\partial T}{\partial y} + \frac{q(x, y)}{\rho \cdot c}, \\ \omega &= \frac{\partial^2 \psi}{\partial x^2} + \frac{\partial^2 \psi}{\partial y^2}, \\ (x, y) &\in \Omega = [0, 1] \times [0, 1], \quad t \geq 0, \\ \omega, \psi, T|_{\partial \Omega} &= 0\end{aligned}$$

где ω – вихрь скорости, ψ – функция тока, T – температура полости; эти функции и необходимо найти. Считаем известными функцию мощности нагревающего источника $q(x, y)$ и константы ρ , c , k , ν , G .

2 Решение

Будем решать сформулированную дифференциальную задачу на множестве $D = [0, 1] \times [0, 1] \times [0, 1]$. Для этого построим разностную схему на сетке D_h , которую положим равной

$$\{ih_x; i = \overline{0, N_x}, N_x h_x = 1\} \times \{jh_y; j = \overline{0, N_y}, N_y h_y = 1\} \times \{k\tau; k = \overline{0, M}, M\tau = 1\},$$

после чего найдём порядок аппроксимации схемы на решении и вычислим решение. Итак, рассмотрим следующую разностную схему:

$$\begin{aligned} \frac{w_{i,j}^{t+1} - w_{i,j}^t}{\tau} &= \nu \left(\frac{w_{i+1,j}^{t+1} - 2w_{i,j}^{t+1} + w_{i-1,j}^{t+1}}{h_x^2} + \frac{w_{i,j+1}^{t+1} - 2w_{i,j}^{t+1} + w_{i,j-1}^{t+1}}{h_y^2} \right) \\ &\quad - \frac{(w_{i+1,j}^t - w_{i-1,j}^t)(\psi_{i,j+1}^t - \psi_{i,j-1}^t)}{4h_x h_y} + \frac{(w_{i,j+1}^t - w_{i,j-1}^t)(\psi_{i+1,j}^t - \psi_{i-1,j}^t)}{4h_x h_y} \\ &\quad + G \frac{T_{i+1,j}^{t+1} - T_{i-1,j}^{t+1}}{2h_x}, \quad i = \overline{1, N_x - 1}, \quad j = \overline{1, N_y - 1}, \quad t = \overline{0, M - 1}, \\ \frac{T_{i,j}^{t+1} - T_{i,j}^t}{\tau} &= k \left(\frac{T_{i+1,j}^{t+1} - 2T_{i,j}^{t+1} + T_{i-1,j}^{t+1}}{h_x^2} + \frac{T_{i,j+1}^{t+1} - 2T_{i,j}^{t+1} + T_{i,j-1}^{t+1}}{h_y^2} \right) \\ &\quad - \frac{(\psi_{i,j+1}^t - \psi_{i,j-1}^t)(T_{i+1,j}^t - T_{i-1,j}^t)}{4h_x h_y} + \frac{(\psi_{i+1,j}^t - \psi_{i-1,j}^t)(T_{i,j+1}^t - T_{i,j-1}^t)}{4h_x h_y} + \frac{q_{i,j}}{\rho \cdot c}, \\ &\quad i = \overline{1, N_x - 1}, \quad j = \overline{1, N_y - 1}, \quad t = \overline{0, M - 1}, \\ w_{i,j}^{t+1} &= \frac{\psi_{i+1,j}^{t+1} - 2\psi_{i,j}^{t+1} + \psi_{i-1,j}^{t+1}}{h_x^2} + \frac{\psi_{i,j+1}^{t+1} - 2\psi_{i,j}^{t+1} + \psi_{i,j-1}^{t+1}}{h_y^2}, \quad i = \overline{1, N_x - 1}, \quad j = \overline{1, N_y - 1}, \\ \omega_{i,0}^t &= \omega_{0,j}^t = \omega_{i,N_x}^t = \omega_{N_y,j}^t = \psi_{i,0}^t = \psi_{0,j}^t = \psi_{i,N_x}^t = \psi_{N_y,j}^t = 0, \\ T_{i,0}^t &= T_{0,j}^t = T_{i,N_x}^t = T_{N_y,j}^t = 0, \quad i = \overline{0, N_x}, \quad j = \overline{0, N_y}, \end{aligned}$$

где $f_{i,j}^k = f(x_i, y_j, t_k)$ для любой функции f .

Порядок аппроксимации на решении для данной разностной схемы очевиден: $O(\tau + h_x^2 + h_y^2)$, $N_x, N_y, M \rightarrow +\infty$. Это следует из того, что для любой достаточно гладкой функции $f(x, y, t)$ формула Тейлора даёт

$$f(x + h, y, t) - f(x - h, y, t) = 2h \frac{\partial f}{\partial x}(x, y, t) + O(h^3), \quad h \rightarrow 0,$$

$$f(x-h, y, t) - 2f(x, y, t) + f(x+h, y, t) = h^2 \frac{\partial^2 f}{\partial x^2}(x, y, t) + O(h^4), \quad h \rightarrow 0,$$

$$f(x, y, t+\tau) - f(x, y, t) = \tau \frac{\partial f}{\partial t}(x, y, t) + O(\tau^2), \quad \tau \rightarrow 0.$$

Для того, чтобы решить задачу, воспользуемся методом Фурье. Заметим, что уравнения на внутренних точках сетки можно записать в операторном виде следующим образом:

$$\left(\frac{1}{\tau} I - \nu \Lambda_{xx} - \nu \Lambda_{yy} \right) \omega^{t+1} = f_1(\omega^t, \psi^t, T^t, T^{t+1}),$$

$$\left(\frac{1}{\tau} I - k \Lambda_{xx} - k \Lambda_{yy} \right) T^{t+1} = f_2(\omega^t, \psi^t, T^t),$$

$$(-\Lambda_{xx} - \Lambda_{yy}) \psi^{t+1} = \omega^{t+1}.$$

Тогда можно поступить так: на очередном шаге t сначала получать T^{t+1} из второго уравнения, затем ω^{t+1} из первого, и в конце шага $-\psi^{t+1}$ из третьего. Для каждого из операторов известны собственные значения и собственные функции. В частности, для оператора $(-\Lambda_{xx} - \Lambda_{yy})$ собственные значения равны

$$\frac{4}{h_x^2} \sin^2 \frac{\pi s h_x}{2} + \frac{4}{h_y^2} \sin^2 \frac{\pi k h_y}{2}, \quad s = \overline{1, N_x - 1}, \quad k = \overline{1, N_y - 1},$$

а собственные функции –

$$2 \sin(\pi i s h_x) \cdot \sin(\pi j k h_y), \quad i = \overline{1, N_x - 1}, \quad j = \overline{1, N_y - 1}.$$

Итак, пусть решаемое уравнение $-A\omega = f$, где оператор A имеет собственные значения λ_{sk} и собственные функции $\phi_s \cdot \psi_k$, образующие ортонормированный базис относительно скалярного произведения

$$(f, g)_{h_x, h_y} = \sum_{s=1}^{N_x-1} \sum_{k=1}^{N_y-1} f_{sk} g_{sk} h_x h_y.$$

Пусть $\omega_{ij} = \sum_{s=1}^{N_x-1} \sum_{k=1}^{N_y-1} c_{sk} \phi_s^i \psi_k^j$. Покажем, как можно за кубическое время найти коэффициенты c , а затем и значения ω . По определению

$$(A\omega)_{ij} = \sum_{s=1}^{N_x-1} \sum_{k=1}^{N_y-1} \lambda_{sk} c_{sk} \phi_s^i \psi_k^j = \sum_{k=1}^{N_y-1} \psi_k^j \left(\sum_{s=1}^{N_x-1} \lambda_{sk} c_{sk} \phi_s^i \right) = \sum_{k=1}^{N_y-1} \psi_k^j d_k^i$$

$$\Rightarrow d_k^i = \sum_{j=1}^{N_y-1} h_y \psi_k^j f_{ij},$$

значит, подсчёт d_k^i можно организовать за кубическое время. При этом

$$d_k^i = \sum_{s=1}^{N_x-1} \lambda_{sk} c_{sk} \phi_s^i \Rightarrow c_{sk} = \frac{1}{\lambda_{sk}} \sum_{i=1}^{N_x-1} \phi_s^i d_k^i h_x,$$

что тоже можно вычислить за $O((\max(N_x, N_y))^3)$. Итак, коэффициенты удалось найти. Покажем, как теперь посчитать все значения ω . Пусть

$$\hat{d}_k^i = \sum_{s=1}^{N_x-1} c_{sk} \phi_s^i.$$

Тогда

$$\omega_{ij} = \sum_{k=1}^{N_y-1} \psi_k^j \hat{d}_k^i.$$

Обе процедуры можно проделать прямым вычислением за $O((\max(N_x, N_y))^3)$. Таким образом, один шаг решения нашей разностной схемы требует кубического времени. Итоговая асимптотика всей программы - $O(M(\max(N_x, N_y))^3)$.

3 Описание программы

Функция

```
template<class Func>
void Solve(int nx, int ny, int M, Params<Func> params);
```

получает на вход размерности задачи и структуру, содержащую значения констант и функцию мощности нагревателя.

Внутри этой функции запускается цикл, на каждом шаге запускающий решение каждого из трёх уравнений с помощью следующих функций:

```
template<class Func>
std::vector<double> NewT(std::vector<double>& wP,
    std::vector<double>& psiP, std::vector<double>& TP, int nx, int ny,
    int M, Params<Func> params);
```

```
template<class Func>
std::vector<double> NewW(std::vector<double>& T,
    std::vector<double>& wP,
    std::vector<double>& psiP, int nx, int ny, int M,
    Params<Func> params);
```

```
template<class Func>
std::vector<double> NewPsi(std::vector<double>& w, int nx, int ny,
    int M, Params<Func> params);
```

Внутри этих функций создаётся объект параметризованного класса

```
template<class Func>
class Fourier {
public:
    Fourier(int nx, int ny, Func func) : nx_(nx), ny_(ny),
        eigen_value_(func) {}
    double Basis(int i, int s, double h);
    double FToD(const std::vector<double>& values, int i, int k);
    std::vector<double> FToDMatrix(const std::vector<double>& values);
    double DToC(const std::vector<double>& d, int s, int k);
    std::vector<double> DToCMatrix(const std::vector<double>& d);
    double CToD(const std::vector<double>& c, int i, int k);
    std::vector<double> CToDMatrix(const std::vector<double>& c);
    double DToF(const std::vector<double>& d, int i, int j);
    std::vector<double> DToFMatrix(const std::vector<double>& d);
    std::vector<double> Solve(const std::vector<double>& values);
private:
    Func eigen_value_;
    int nx_;
    int ny_;
```

```
};
```

Его основная функция

```
std::vector<double> Solve(const std::vector<double>& values);
```

получает на вход вектор правой части, который образуют для каждого уравнения функции

```
template<class Func>
std::vector<double> RightPartForT(std::vector<double>& wP,
    std::vector<double>& psiP, std::vector<double>& TP, int nx, int ny,
    int M, Params<Func> params);
```

```
template<class Func>
std::vector<double> RightPartForW(std::vector<double>& T,
    std::vector<double>& wP, std::vector<double>& psiP, int nx, int ny,
    int M, Params<Func> params);
```

```
template<class Func>
std::vector<double> RightPartForPsi(std::vector<double>& w, int nx,
    int ny, int M, Params<Func> params);
```

В конце работы программы функции

```
template<class Func>
double CheckFirst(std::vector<std::vector<double>>& ws,
    std::vector<std::vector<double>>& psis,
    std::vector<std::vector<double>>& Ts,
    int nx, int ny, int M, Params<Func> params);
```

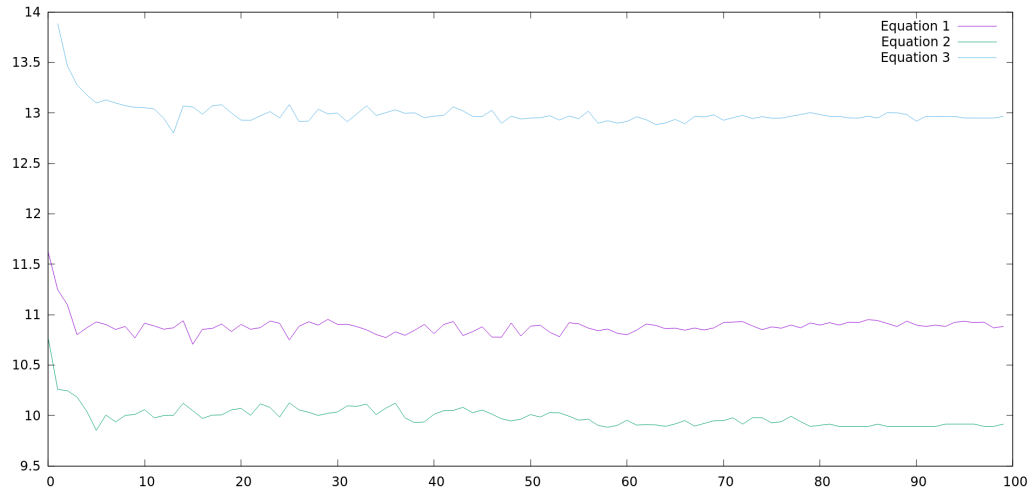
```
template<class Func>
double CheckSecond(std::vector<std::vector<double>>& ws,
    std::vector<std::vector<double>>& psis,
    std::vector<std::vector<double>>& Ts,
    int nx, int ny, int M, Params<Func> params);
```

```
template<class Func>
double CheckThird(std::vector<std::vector<double>>& ws,
    std::vector<std::vector<double>>& psis,
    std::vector<std::vector<double>>& Ts,
    int nx, int ny, int M, Params<Func> params);
```

вычисляют погрешности на каждом из трёх уравнений.

4 Результаты вычислений

Запуск при $\nu = k = 3$, $G = 10$, $q = 100$, $\rho = c = 1$, $N_x = M_x = 50$, $M = 100$ дал следующий результат (на графике зависимость отрицательного десятичного логарифма погрешности от номера итерации):



Кроме того, строится gif - анимация, визуализирующая изменение поля скоростей и температуры на каждом шаге:

